XXX, № 2, 1977

УДК 542.943+547.211

# ВОЗМОЖНЫЕ ПУТИ ОБРАЗОВАНИЯ МУРАВЬИНОЙ КИСЛОТЫ В РЕАКЦИИ ОКИСЛЕНИЯ МЕТАНА

О. М. НИАЗЯН, Л. А. ХАЧАТРЯН и А. А. МАНТАШЯН Институт химической физики АН Армянской ССР, Ереван Поступило 12. V 1976

Проведено термическое окисление метана при 513°C. Изучена кинетика накопления всех промежуточных и конечных продуктов реакции, а также расходования исходных веществ.

Показано, что образование муравьиной кислоты может происходить по следующим реакциям:

$$HCO + O_2 + M \longrightarrow HCO_3 + M$$
  
 $HCO_3 + RO_2 \longrightarrow HCO_2 + RO + O_2$   
 $HCO_2 + RH \longrightarrow HCO_2H + R$ 

Рис. 2, библ. ссылок 14.

Нами экопериментально было показано [1], что в реакции гермического окисления метана концентрация метилперекисных радикалов достигают  $10^{13}$  част/см<sup>3</sup>, а измеренная в опыте скорость накопления формальдегида обеспечивается в реакциях квадратичного продолжения цепи

1. 
$$2CH_3O_2 \longrightarrow 2CH_3O + O_2$$

с последующим распадом метоксильного радикала на формальдегид и атом водорода

Наряду с этим метоксильный радикал приводит к образованию метилового спирта

3. 
$$CH_3O + CH_4 \longrightarrow CH_3OH + CH_3$$

Количественные данные о радикалах в эоне реакции были получены благодаря использованию кинетического метода вымораживания радикалов [2, 3]. Существование квадратичных реакций продолжения цепи перекисных радикалов ранее было показано [4] на примере фотоинициированного окисления метана и этана изучением кинетики накопления ведущих активных центров с помощью того же метода вымораживания радикалов. Общность механизма развития основной цепи посредством квадратичных реакций перекисных радикалов и линейных реакций более активных алкоксильных радикалов в реакциях окисления углеводородов подтвердилась и при изучении термического окисления пропана тем же методом [5]. С точки зрения развиваемых представлений интересно установить пути образования и других кислородсодержащих продуктов, в частности кислот. Возникновение муравьиной кислоты в реакции окисления метана, например, при повышенных давлениях, отмечено в работе [6]. Однако количественных данных по кинетике накопления этого продукта в литературе нам не удалось найти.

В настоящей работе показано, что в реажции окисления метана при низких давлениях, например 117 тор, накапливается муравычная кислота в измеримых количествах. Изучена кинетика ее накопления наряду с другими продуктами реакции. В этих же условиях методом вымораживания радикалов [2, 3] измерена концентрация ведущих активных центров.

Разделение муравьиной кислоты проводилось на колонке (1=3~м, d=3~мм), заполненной полихромом, обработанным твином—60, содержащим 2% азекислоты [7]. Детектор—катарометр, скорость газаносителя (гелий)  $30~\text{см}^3/\text{мин}$ . Температура колонки  $135^\circ$ . При анализе кислоты в колонку вводилась проба объемом 4~мкл. Метиловый спирт, CO, CO<sub>2</sub>, CH<sub>4</sub>, O<sub>2</sub>, H<sub>2</sub>O, H<sub>2</sub> анализировались хроматографически, формальдогид,  $H_2O_2$ —фотоколориметрически, органические перекиси—иодометрически. Опыты проводились в статических условиях при  $513^\circ$ ,  $P_{\text{псх}} = 117~\text{и} 235~\text{mop}$ , CH<sub>4</sub>:  $O_2 = 1:2$ .

Кинетические кривые накопления всех промежуточных продуктов реакции приведены на рис. 1 и 2. При временах контакта, соответствующих максимальной скорости превращения: метан-кислородной смеси данного состава, указанных давлениях и температуре в струевых условиях была измерена концентрация перекисных радикалов  $(0.8-1)\cdot 10^{13}$  част/см³. Это значение несколько ниже величины.  $4\cdot 10^{13}$  част/см³, измеренной в более богатой метаном смеси (CH<sub>4</sub>:O<sub>2</sub>=2:1, при P=236 тор и T=491°C) [1], тем не менее данная концентрация достаточно высокая для обеспечения возникновения формальдегида по реакциям 1,2 со скоростью накопления  $4\cdot 10^{13}$  част/см³. сек, вычисленной по экспериментальным данным (рис. 1). Скорости эти обеспечиваются, если даже принять наименьшие значения для константы скорости реакции 1, приводимые в [8],  $2\cdot 10^{-13}$  см³/част. сек.

Скорость накопления муравьиной кислоты при P=117 тор (рис. 1), согласно экопериментальным данным, примерно в 3 разн ниже скорости накопления формальдегида—1,4.10<sup>13</sup>част/см<sup>3</sup>. сек.

Образование муравыной кислоты: и углекислого газа, очевидно, связано с дальнейшими превращениями: формальдегида; процесс возникновения муравьиной кислоты неминуемо ведет к радикалу НСО,

первично образующемуся в той или иной реакции превращения формальдегида

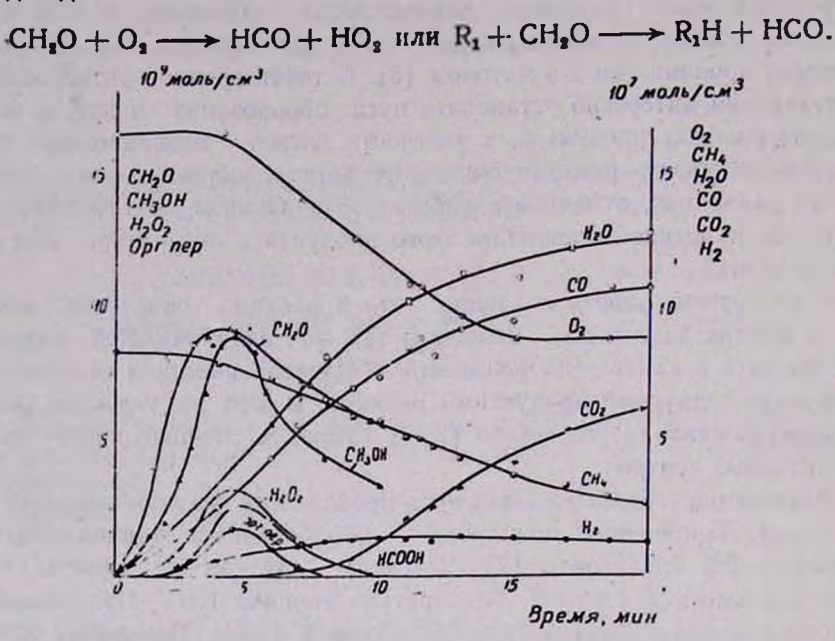


Рис. 1. Кинетика расходования исходных веществ и накопления промежуточных и конечных продуктов в реакции окисления метана при 513°С,  $P_{\rm nex} = 117~mop;~{\rm CH_4:O_2} = 1:2.$ 

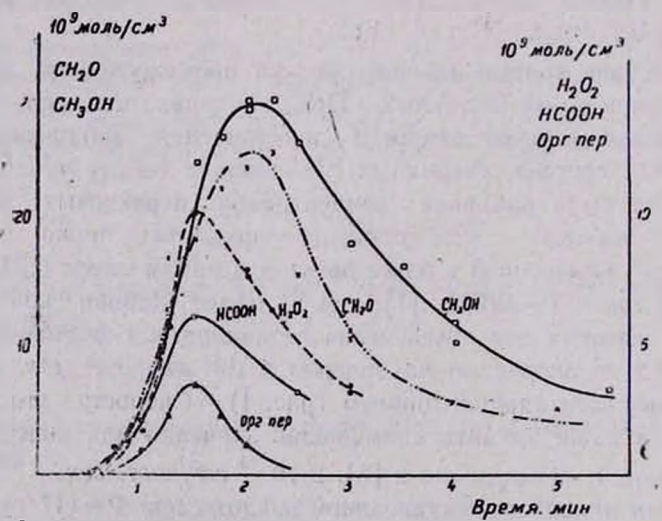


Рис. 2. Кинетика накопления промежуточных продуктов в реакции окисления метана при 513°C,  $P_{\text{nex}} = 235 \text{ тор}$ ;  $CH_4: O_2 = 1:2$ .

Далее радикал HCO, взаимодействуя с кислородом, приводит к возникновению CO и радикала  $HO_2$ .

4. 
$$HCO + O_s \longrightarrow HO_s + CO$$

Константа скорости этой реакции достаточно большая —  $K_4 = 10^{-18} \ cm^3$ .  $4acm^{-1} \cdot ce\kappa^{-1}$  [3, 9], и экспериментально измеренная максимальная скорость накопления СО  $W_{\text{CO}} = 10.8 \cdot 10^{14} \ vact/cm^3.ce\kappa$  (по данным рис. 1) по реакции 4 может быть обеспечена при концентрации радикалов  $|HCO| \approx 10^{10} \ vacm/cm^3$ .

При этих концентрациях радикалы НСО могут с достаточно большой скоростью превращатьоя в радикалы НСО3 по резкции

5. 
$$HCO + O_3 + M \longrightarrow HCO_3 + M_2$$

Далее радикалы HCO<sub>3</sub> приведут к образованию муравьиной кислоты

6. 
$$HCO_3 + RO_2 \longrightarrow HCO_2 + RO + O_2$$

7. 
$$HCO_2 + RH \longrightarrow HCO_2H + R$$

Оценка показывает, что измеренная скорость накопления кислоты  $W=1,4\cdot10^{13}$  част/см³ сек будет обеспечиваться при значениях  $K_5\geqslant 10^{-33}$  см6/част² сек, если [HCO] =  $10^{10}$  част/см³. При этом концентрация HCO2 не будет превышать  $\sim 10^9-10^{10}$  част/см³, если даже считать, что  $E_7$  может быть очень высокой  $10\div15$  ккал/моль, при эначении предэкспоненциального множителя в  $10^{-11}$  см³/част сек. Наибольшей должна быть концентрация радикалов HCO3. Действительно, при наименьшем значении для  $K_6=2\cdot10^{-13}$  см³/част сек скорость накопления кислоты  $1,4\cdot10^{13}$  част/см³ сек обеспечивается при измеренной на опыте  $[RO_2]=(0,8-1)\cdot10^{13}$  част/см³ при  $[HCO_3]=7,8\cdot10^{12}$  част/см³. Все оцененные концентрации радикалов не превышают экспериментально измеренные суммарные концентрации перекисных радикалов. Это обстоятельство говорит в пользу образования муравьиной кислоты по реакциям 6—8.

По мнению авторов работы [10], образование кислоты может происходить по реакции 7, но при этом  $HCO_2$  образуется в результате распада надмуравьиной кислоты

хотя образование этой кислоты связывают с существованием радикала HCO<sub>3</sub>. Другие исследователи [6] считают, что муравьиная кислота образуется в результате реакции

что, на наш взгляд, менее вероятно, чем взаимодействие по реакции 6 двух, более устойчивых перекисных радикалов, концентрации которых во всех случаях должны быть значительно выше, чем [HCO] и [OH].

Таким образом, квадратичными реакциями продолжения цепи между перекиоными радикалами RO<sub>2</sub> и линейными реакциями дальней-

шего развития цепей с участием более активных радикалов типа RO можно объяснить возникновение основных кислородсодержащих продуктов реакции, в том числе образование муравьиной кислоты в реакции газофазного окисления метана.

Лишь один экспериментальный факт образования СН<sub>2</sub>О и спиртз примерно с равными выходами, полученных и в работе [11], требует

привлечения дополнительных объяснений.

Если пользоваться величиной константы скорости реакции 3, равной  $K_3 = 10^{-12} \exp{(-11000/RT)}$  [12], и принять нормальный предэкслонент— $10^{13}$  сек $^{-1}$  для константы скорости реакции 2 при энергии активации E = 30 ккал/моль [12], то в условиях нашего эксперимента выход формальдегида должен превышать выход метилового спирта. Между тем в условиях работы [13] отношение экспериментально измеренных значений выходов этих продуктов соответствует расчетному, если пользоваться приведенными значениями констант реакций 2 и 3.

Остается предположить, что состояние поверхности и обработка ее оказывают существенное влияние на это соотношение.

В соответствии с данными [13] надо полагать, что существует и гетерогенный путь возникновения метилового спирта из гидроперекиси метила, которая накапливается в реакции в измеряемых количествах и в наших условиях. При этом соотношение между гомогенным и гетерогенным путями образования, естественню, будет зависеть от состояния и обработки поверхности, а также от величины S/V (где S—поверхность и V—объем реакционной зоны).

Вопрос этот должен быть предметом специальных исследований.

### ՄԵԹԱՆԻ ՕՔՍԻԴԱՑՄԱՆ ՌԵԱԿՑԻԱՅՈՒՄ ՄՐՋՆԱԹԹՎԻ ԱՌԱՋԱՑՄԱՆ ՀՆԱՐԱՎՈՐ ՈՒՂԻՆԵՐԸ

0. Մ. ՆԻԱԶՅԱՆ, Լ. Ա. ԽԱՉԱՏՐՅԱՆ և Ա. Հ. ՄԱՆԹԱՇՅԱՆ

Ուսումնասիրված է մենանի ներմիկ օքսիդացումը  $513^{\circ}$ -ում (CH $_4$ :O $_2$ ==1:2)։ Ուսումնասիրված է բոլոր միջանկյալ նյուների (H $_2$ O $_2$ , HCOOH, օրգանական պերօքսիդներ, CH $_3$ OH, CH $_2$ O) և վերջանյուների (H $_2$ O, CO, CO $_2$ , H $_2$ ) կուտակման, ինչպես նաև ելանյուների ծախսման կինետիկան։

Ռադիկալների սառեցման մեթոդով ռեակցիոն զոնայում չափված է պերօջսիդային ռադիկալների կոնցենտրացիան (0,8—1,0.10<sup>13</sup> մասնիկ/սմ³)։ Ցույց է տրված, որ մեթանի գազաֆազ օջսիդացման ռեակցիայում հիմնական թթվածին պարունակող նյութերի, այդ թվում մրջնաթթվի առաջացումը պայժանավորված է RO<sub>2</sub> ռադիկալների միջն ընթացող քառակուսային և ավելի ակտիվ RO ռադիկալների հետագա շաթայի զաթգացման ռեակցիաներով։

## POSSIBLE ROUTES OF FORMIC ACID FORMATION IN THE OXIDATION OF METHANE

#### O. N. NIAZIAN, L. A. KHACHATRIAN and A. H. MANTASHIAN

The thermic oxidation of methane at  $513^{\circ}$ C has been studied.  $P_{\rm in}=117$  and  $234\ torr$  with an initial composition of the reaction mixture of methane and oxygen in the ratio of 1:2. The kinetics of accumulation of all intermediates ( $H_2O_2$ , HCOOH, organic peroxides,  $CH_3OH$ ,  $CH_2O$ ) and final reaction products (CO,  $CO_2$ ,  $H_2O$ ,  $H_2$ ) and that of consumption of the initial substances have been studied.

The concentration of peroxide radicals in the reaction zone  $[(0.8-1)\cdot 10^{13}\ part/cm^3]$  has been measured by the radical freezing method. The formation of the main oxygen-containing reaction products and among them that of formic acid in the gas phase oxidation of methane may be explained by quadratic reactions taking place between radicals and by further chain propagation reactions of more active RO radicals.

### ЛИТЕРАТУРА

- 1.А. А. Манташян, Л. А. Хачатрян, О. М. Ниазян, ЖФХ, 41, 341 (1977).
- 2. А. А. Манташян, А. Б. Налбандян, ЖФХ, 46, 3030 (1972).
- А. Б. Налбандян, А. А. Манташян, Элементарные процессы в медленных газофазных реакциях, Изд. АН Арм. ССР, 1975.
- 4. А. А. Манташян, М. А. Бейбутян, А. С. Саакян, А. Б. Налбандян, ДАН СССР, 202, 120 (1972).
- 5. Е. А. Поладян, Г. Л. Григорян, Л. А. Хачатрян, А. А. Манташян, Кин. и кат. 17, 304 (1976).
- 6. G. L. Bauerle, J. Fire and Flammabil, 5, 190 (1974).
- 7. Р. В. Паронян, В. К. Саркисян, ЖАХ.: 19, 604 (1974).
- 8. D. A. Parkes, XV-th Symp. on Combustion. Tokyo, 1974, p. 150.
- 9. I. A. Vardanyan, G. A. Sachyan, A. G. Piliposyan, A. B. Nalbandyan, Comb. and Flame, 22, 153 (1974).
- 10. N. Pelini, S. Antonik, Bull. soc. chim. France, 12, 2735 (1974).
- 11. Е. М. Кегеян, И. А. Варданян, А. Б. Налбандян, Кин. и кат., 17, 856 (1976).
- 12. В. Н. Кондратьев, Константы скорости газофазных реакций, Изд. «Наука», М., 1971.
- 13. I. P. Fisher, G. R. Tipper, Trans. Far. Soc., 59, 1163 (1963).